



لیفن
پرکندگی

بیستمین کنفرانس اپتیک و فوتونیک ایران
و ششمین کنفرانس مهندسی و فناوری فوتونیک ایران
۸ تا ۱۰ بهمن ماه ۱۳۹۲ - دانشگاه صنعتی شیراز



بررسی پراکندگی پولاریتون‌های پلاسمون سطحی در حضور تک نقیصه سطحی به روش پراکندگی رایلی

سلمی موسوی^۱, پرنیان خوانین^۱ و فردین خیراندیش^۲

^۱گروه فیزیک، دانشگاه اصفهان، اصفهان

^۲گروه پژوهشی اپتیک کوانتموی، دانشگاه اصفهان، اصفهان

چکیده- در این مقاله به بررسی پراکندگی امواج سطحی پلاسمون توسط نقیصه منفرد که در فصل مشترک فلز و خلا قرار دارد می‌پردازیم. با اصلاح روش‌های قبلی توانستیم نقص هایی با اسکالی کلی را بررسی کنیم و ضرایب عبور، بازتاب و پراکندگی پلاسمون‌های سطحی را، به کمک معادلات رایلی و به روش حل عددی دقیق بدست آوریم. با اینکه یک نقص جدید، میزان بازتاب از ساختار نسبت به ساختارهای متداول به میزان چشمگیری افزایش یافت. بیشترین بازتاب زمانی بدست می‌آید که نقیصه باریک باشد که به آن آینه‌ی پلاسمونی گفته می‌شود.

واژه‌های کلیدی: آینه‌ی پلاسمونی، پراکندگی، پولاریتون پلاسمون سطحی، ضریب بازتاب، نقیصه

Investigation of surface plasmon polaritons scattering in the presence of an individual surface defect using Rayleigh scattering

Salma Mousavi¹, Parnian Khavanin¹ and Fardin Kheirandish²

¹Department of Physics, University of Isfahan, Isfahan, Iran

²Quantum Optics Group, University of Isfahan, Isfahan, Iran

Abstract- In this paper the scattering of surface waves in the presence of a single defect in the metal-vacuum interface is investigated. By modifying the previous methods we could explore more general forms of defect and get transmission, reflection and scattering coefficients of surface plasmon using both Rayleigh expansions and the exact numerical solution of integral equation. Providing a new defect, reflection coefficient of the structure greatly increased compared to conventional structures. The maximum reflectivity is achieved when the defect is narrow which is called plasmon mirror.

Key words: defect, reflection coefficient, scattering, surface plasmon polaritons, plasmon mirror

۱- مقدمه

۲- فرمول بندی

امواج سطحی پولاپتون‌های پلاسمون سطحی با قطبش موازی را در نظر می‌گیریم. در این مسئله، این امواج با فرکانس ثابت روی فصل مشترک فلز- خلاء انتشار می‌یابند و در طول مسیرشان به نقیصه‌ای که در شکل (۱) نشان داده شده برخورد می‌کنند. تحت این شرایط، مؤلفه‌ی غیر صفر میدان مغناطیسی از حل معادله‌ی دو بعدی هلمهولتز در نیم فضای بالایی (خلاء) و پایینی (فلز) بدست می‌آید. میدان مغناطیسی موجود در خلاء به صورت جمعی از پولاپتون‌های پلاسمون سطحی فروودی و میدان پراکنده شده می‌توان نوشت

$$H_y(x, z) = e^{i(k_p x - k_{zp} z)} + \int_{-\infty}^{\infty} dk H_y(k) e^{i(kx - k_z z)} \quad (1)$$

معادله‌ی پارامتری نقیصه به صورت زیر است

$$x = F(t) = \frac{a}{2} \sin(2t) \quad (2)$$

$$z = G(t) = h \sin(t)$$

که در آن پارامتر t در بازه‌ی $(0, \pi)$ تغییر می‌کند، a پهنه‌ی نقیصه، h ارتفاع آن و داریم

$$k_z = \sqrt{\frac{\omega^2}{c^2} - k^2} \quad |k| \leq \frac{\omega}{c}$$

$$= i \sqrt{k^2 - \frac{\omega^2}{c^2}} \quad |k| \geq \frac{\omega}{c} \quad (3)$$

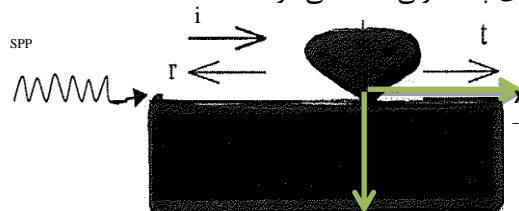
$$k_p = \frac{\omega}{c} \sqrt{\frac{\epsilon(\omega)}{\epsilon(\omega) + 1}} = \frac{\omega}{c} \sqrt{1 - \frac{1}{\epsilon(\omega)}} \quad (4)$$

$$g = \frac{\omega}{c}, \quad k_{zp} = \sqrt{g^2 - k_p^2} = -\zeta g \quad (5)$$

در این معادلات ω فرکانس موج پلاسمون فروودی، c سرعت نور در خلاء، $\epsilon(\omega)$ تابع دیالکتریک فلز می‌باشد که از مدل ساده‌ی درود پیروی می‌کند و $\zeta = \frac{1}{\sqrt{\epsilon(\omega)}}$ را تابع امپدانس سطح تعریف می‌کنیم [۲].

$$\epsilon(\omega) = 1 - \frac{\omega_p^2}{\omega^2} \quad (6)$$

پولاپتون‌های پلاسمون سطحی به امواج الکترومغناطیسی سطحی گفته می‌شود که در طول فصل مشترک فلز- خلاء انتشار پیدا می‌کنند. این امواج سطحی در طول فصل مشترک محیط‌های منتشر می‌شوند که بخش حقیقی تابع دیالکتریک آن‌ها مختلف العلامه باشند [۱]. دامنه‌ی میدان الکترومغناطیس این امواج در راستای عمود بر فصل مشترک میرا می‌باشد [۲]. تا کنون سیستم‌های فیزیکی مطالعه شده مربوط به پراکنده‌ی امواج سطحی توسط نقیصه‌های روی سطح فلز با ساختار هندسی ساده (به عنوان مثال نقیصه‌ی گاؤسی، مربعی یا مثلثی) بوده است و میزان عبور، بازتاب و پراکنده‌ی این امواج سطحی را از این نقیصه‌ها (به صورت برآمدگی یا فرورفتگی) به کمک حل تقریبی معادلات انگرالی محاسبه کرده اند [۳]. با مطالعه‌ی پراکنده‌ی اینگونه نقیصه‌ها، دانشمندان به این نتیجه رسیدند که تا وقتی پهنه‌ی نقیصه‌های روی سطح خیلی کم باشد ($a \leq 0.3\lambda$ و $\lambda = 632.8\text{nm}$ ، رفتار برآمدگی‌های روی سطح فلز و یا فرورفتگی‌های آن تقریباً مثل هم می‌باشد، ولی هر چه پهنه‌ی نقیصه‌ها افزایش یابد رفتارشان متفاوت می‌شود. اما ساختاری که ما در این مقاله بررسی کرده ایم مربوط به نقیصه‌هایی است که دارای معادلات پارامتریک می‌باشند و ساختار آن با ساختارهایی که تا کنون مورد بررسی قرار گرفته اند متفاوت است. سپس میزان عبور، بازتاب و پراکنده‌ی این امواج سطحی را با اصلاح روش‌های قبلی بدست آورده ایم. اگر در اثر برخورد این امواج به نقیصه بیشترین بازتاب حاصل شود، به این نقیصه‌ها اصطلاحاً آبینه‌ی پلاسمونی گفته می‌شود [۴].



شکل ۱: طرحواره‌ای از ساختار هندسی پراکنده‌ی امواج سطحی پلاسمون

$$N_x = -\frac{X}{\sqrt{1+X^2}} \quad (11)$$

$$N_z = \frac{1}{\sqrt{1+X^2}} \quad (12)$$

می‌رسیم که به ترتیب مؤلفه‌های موازی و عمودی بردار یکه‌ی عمود بر سطح این نقيصه می‌باشند و در آنها $X = \frac{G'}{F'}$ است.

۲-۲- معادله‌ی انتگرالی دامنه‌های میدان پراکنده شده

اکنون می‌توانیم با جایگذاری معادلات (۱۱) و (۱۲) در

$$\text{معادله‌ی (۷) و به کارگیری معادلات } q_p = \frac{k_p}{g}, q = \frac{k}{g} \text{ و}$$

$q_z = \frac{k_z}{g}$ و انجام محاسبات نسبتاً طولانی به معادله‌ی انتگرالی

$$\int_{-\infty}^{\infty} dq' r(q') G(q') U(t, q') = -U(t, q_p) \quad (13)$$

که اصلی‌ترین معادله‌ی این مقاله است، می‌رسیم و در آن $r(q) = g H_y(k) G(q)^{-1}$

$$U(t, q) = e^{ig(qF(t) - q_z G(t))} (qN_x - \zeta - q_z N_z) \quad (14)$$

نیز پتانسیل پراکنده‌ی نام دارد.

۳- محاسبه‌ی ضریب عبور، بازتاب و اتلاف پراکنده‌ی

برای بدست آوردن این ضرایب در فاصله‌ی نسبتاً دور از نقيصه، کافی است از تابع گرین $G(q)$ در رابطه‌ی (۱) استفاده کنیم

$$H_y(x \rightarrow \infty, 0) = (1 + \tau) e^{ik_p x} \quad (15)$$

$$H_y(x \rightarrow -\infty, 0) = \rho e^{-ik_p x} \quad (16)$$

که $\rho = \frac{2i\pi\zeta}{q_p} r(-q_p)$ و $\tau = \frac{2i\pi\zeta}{q_p} r(q_p)$ به ترتیب دامنه

عبور و بازتاب پلاسمون‌های سطحی در برخورد با این نقيصه می‌باشند و برای ضرایب بازتاب و عبور به ترتیب داریم

$$R = |\rho|^2, T = |1 + \tau|^2 \quad (17)$$

از برقراری قانون پایستگی انرژی $(1 - R - S - T = 0)$ داریم

که $\omega_p = \sqrt{\frac{ne^2}{m\varepsilon_0}}$ فرکانس پلاسما است و در آن n چگالی

الکترون‌های آزاد فلز، e بار الکترون، m جرم الکترون و ε_0 ضریب گذردهی خلاً است. k_p و k_z به ترتیب اعداد موج موازی و عمود بر فصل مشترک این امواج سطحی در خلاً هستند. k و k_z نیز به ترتیب اعداد موج موازی و عمود بر فصل مشترک مربوط به میدان پراکنده شده در خلاً می‌باشند که در این روابط حد $>>(\omega)$ اعمال شده است. با در نظر گرفتن معادلات ماکسول و شرایط مرزی پیوستگی در طول فصل مشترک رابطه

$$E_x(x, z) N_z - E_z(x, z) N_x = \zeta H_y(x, z) \quad (7)$$

حاصل می‌شود. از طرفی با در نظر گرفتن معادلات ماکسول دامنه‌های میدان الکتریکی از روابط

$$E_z = \left(\frac{i}{g} \right) \left(\frac{\partial H_y}{\partial x} \right) \quad (8)$$

$$E_x = \left(-\frac{i}{g} \right) \left(\frac{\partial H_y}{\partial z} \right)$$

تبغیت می‌کنند [۳].

۱-۲- محاسبه‌ی بردار یکه‌ی عمود بر سطح نقيصه

بردار $\mathbf{r}(t) = F(t)\mathbf{i} + G(t)\mathbf{k}$ نشان دهنده‌ی برداری است که هر نقطه از نقيصه‌ی روی سطح را به مبدأ مختصات وصل می‌کند. بنابراین بردار یکه‌ی مماس بر سطح این نقيصه را به کمک معادله‌ی

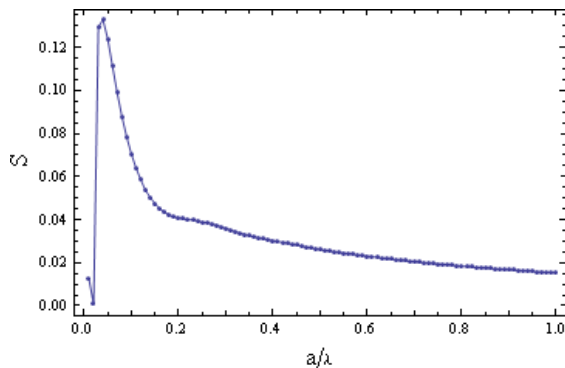
$$\mathbf{T} = \frac{\frac{d\mathbf{r}}{dt}}{\left\| \frac{d\mathbf{r}}{dt} \right\|} = \frac{F'(t)\mathbf{i} + G'(t)\mathbf{k}}{\sqrt{(F')^2 + (G')^2}} \quad (9)$$

می‌توان بدست آورد و به کمک آن می‌توانیم بردار یکه‌ی عمود بر سطح را بدست آوریم

$$\mathbf{N} = \frac{\frac{d\mathbf{T}}{dt}}{\left\| \frac{d\mathbf{T}}{dt} \right\|} = \frac{F''G'^2 - F'G'F''}{(F'G'' - F''G')\sqrt{F'^2 + G'^2}} \mathbf{i} \quad (10)$$

$$+ \frac{G''F'^2 - F'G'F''}{(F'G'' - F''G')\sqrt{F'^2 + G'^2}} \mathbf{k}$$

در هندسه دیفرانسیل مشتق بردار یکه مماس بر هر منحنی، عمود بر آن منحنی است. بنابراین \mathbf{N} را به صورت مشتقی از \mathbf{T} تعریف می‌کنیم که در آن F' و G' مشتق مرتبه اول توابع $F(t)$ و $G(t)$ نسبت به پارامتر t هستند [۵]. با ساده کردن رابطه‌ی (۱۰) به معادلات



شکل ۴: تغییرات ضریب اتلاف پراکندگی پولاریتون‌های پلاسمون سطحی نسبت به تغییرات پهنه‌ای نقیصه موجود بر روی سطح نقره

۴- نتیجه‌گیری

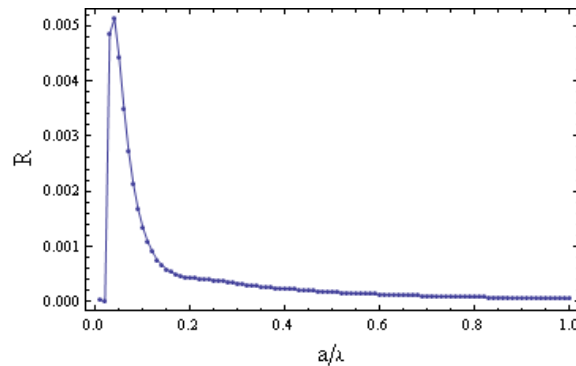
در این مقاله با اصلاح روش‌های قبلی برای بررسی پراکندگی امواج سطحی پلاسمون توسط نقیصه‌ای با ساختار کلی‌تر، یک معادله‌ی انتگرالی جدید بدست می‌آوریم. به دلیل دشوار بودن حل تحلیلی این معادله‌ی انتگرالی، آن را به روش عددی و بدون احتساب هرگونه تقریبی به طور دقیق محاسبه کردیم. همانطور که از روی نمودارها مشخص است تغییرات ضرایب بازتاب، عبور و اتلاف پراکندگی تنها دارای یک مقدار بیشینه و کمینه هستند و میزان تغییرات این ضرایب از پهنه‌ای ($a \geq 0.2\lambda$) تقریباً یکنواخت است. ویژگی باز این ساختار نسبت به ساختارهای قبلی، داشتن ضریب انعکاس بالای آن است.

مراجع

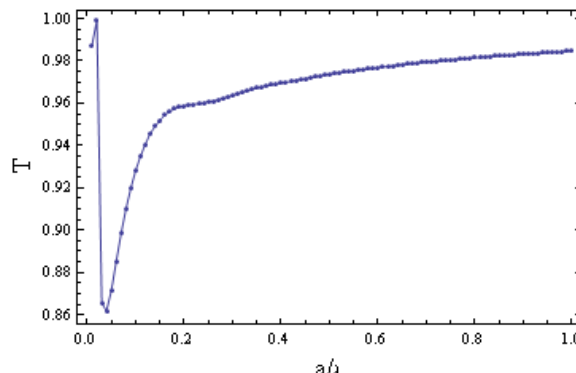
- [1] Stefan Alexander Maier, *Plasmonics Fundamentals and applications*, p 39, 2007
- [2] Lukas Novotny and Bert Hecht, *Principles of nano-optics*, p 385, 2006
- [3] A. Yu. Nikitin , F. Lopez-Tejeira , and L. Martin- Morento, *Scattering of surface plasmon polaritons by one-dimensional inhomogeneities*, arxiv:mat/ 0609278v3, 2006
- [4] Jose. A. Sanchez-Gil, Alexei. A. Maradudin, *Near field and far field scattering of surface plasmon polaritons by one- dimensional surface defects*, arxiv:mat /9904347v1 ,19
- [5] Barrett O'Neill, *Elementary differential geometry*, 2nd ed, Elsevier Inc., 2006

$$S = \frac{4\pi|\kappa|}{q_p} \int_{-1}^1 dq q_z |r(q)G(q)|^2 \quad (18)$$

که ضریب اتلاف پراکندگی نامیده می‌شود [۳]. با حل عددی معادله‌ی انتگرالی (۱۳) و بدون احتساب هرگونه تقریبی و به کمک معادلات (۱۷) و (۱۸) نمودار تغییرات ضریب بازتاب، عبور و پراکندگی امواج پلاسمون سطحی را نسبت به تغییرات پهنه‌ای نقیصه موجود در سطح فلز نقره با $\lambda = 632.8 nm$ و $h = 0.02\lambda$ بدست می‌آوریم. ارتفاع نقیصه ذکر شده در مقدار به این نمودارها و مقایسه‌ی آن با نتایج کارهای قبلی، رفتار این نقیصه تا حدودی شبیه به رفتار نقیصه گاؤسی می‌باشد با این تفاوت که شدت تغییرات در این نقیصه بیشتر از حالت گاؤسی است و میزان بازتاب از این ساختار نسبت به ساختارهای متداول به میزان چشمگیری افزایش یافته است.



شکل ۲: تغییرات ضریب بازتاب پولاریتون‌های پلاسمون سطحی نسبت به تغییرات پهنه‌ای نقیصه موجود بر روی سطح نقره



شکل ۳: تغییرات ضریب عبور پولاریتون‌های پلاسمون سطحی نسبت به تغییرات پهنه‌ای نقیصه موجود بر روی سطح نقره